

## К ВОПРОСУ О ВОЗМОЖНОСТИ ОБРАЗОВАНИЯ ЧАСТИЦ С МАССОЙ ОКОЛО $3m_e$ ПРИ $\beta$ -РАСПАДЕ ЯДЕР

К.Я.Громов, А.Н.Каргин, Н.А.Лебедев, Т.И.Михайлова,  
А.Ф.Новгородов

На основе анализа литературных данных о спектрах  $\gamma$ -излучения установлен верхний предел образования частиц с массой  $\sim 3m_e$  при  $\beta^\pm$ -распаде ядер, равный 0,5 %. Экспериментально установлено, что при  $\beta$ -распаде  $^{90}\text{Y}$  этот же предел порядка  $10^{-5}$ .

Работа выполнена в Лаборатории ядерных проблем ОИЯИ.

### To the Question of the Production Possibility of Particles with Mass about $3m_e$ in Nuclear $\beta$ -Decay

K.Ya.Gromov et al.

We analysed the available data on  $\gamma$ -radiation spectra and obtained the upper limit of the production of particles with mass  $\sim 3m_e$  in the  $\beta$ -decay. This limit is found to be equal to 0.5 %. The same limit obtained experimentally for the  $\beta$ -decay of  $^{90}\text{Y}$  is  $10^{-5}$ .

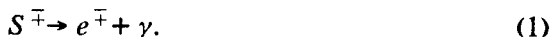
The investigation has been performed at the Laboratory of Nuclear Problems, JINR.

А.М.Балдин<sup>/1/</sup> обратил внимание на сделанное Д.В.Скobel'цыным предположение<sup>/2/</sup> об испускании при  $\beta^-$ -распаде  $^{214}\text{Bi}$  наряду с  $\beta$ -частицами частиц с массой, равной  $3m_e$ , где  $m_e$  — масса электрона. По оценкам Д.В.Скobel'цына, вероятность образования этих новых частиц может достигать 10 %, а время их жизни  $\approx 10^{-10}$  с.

К сожалению, за 40 лет, прошедших с тех пор, не было выполнено тщательных проверок результатов экспериментов<sup>/3/</sup>, так как считалось, что существование легкой частицы с массой, в несколько раз превышающей массу электрона, противоречит основным положениям квантовой электродинамики. В своей работе А.М.Балдин<sup>/1/</sup> отметил, что частица с массой около  $3m_e$  может быть квазистационарным состоянием, существующим в рамках КЭД, и рассмотрел последствия этой гипотезы.

Предполагается, что  $S^-$ -частица — это состояние  $(e^-, e^-, e^+)$  некой  $S$ -частицы, но тогда возможно и состояние  $S^+(e^+, e^+, e^-)$ . Спин  $S^\pm$ -частицы равен  $1/2$ . Процесс распада атомного ядра с вылетом  $S^\pm$ -частицы аналогичен обычному  $\beta$ -распаду, с тем отличием, что на образование  $S^\pm$ -частицы дополнительно затрачивается энергия  $2m_e c^2$  (1022 кэВ). Распад происходит между теми же начальным и конечным состояниями ядра, что и обычный  $\beta$ -распад. Максимальная кинетическая энергия  $S^\pm$ -частицы примерно на 1 МэВ меньше, чем для  $\beta$ -распада того же ядра.

$S^\pm$ -частица нестабильна, она распадается на электрон (позитрон) и  $\gamma$ -квант:



Таким образом, все кинематические выкладки Д.В.Скобельцына<sup>/2/</sup> остаются в силе (он предполагал, что  $S$ -частица распадается на электрон и нейтрино). Энергии электрона ( $E_e$ ) и  $\gamma$ -кванта ( $\epsilon_\gamma$ ), образовавшихся в результате распада остановившейся  $S$ -частицы, соответственно равны

$$\epsilon_\gamma = \frac{n^2 - 1}{2n} \cdot m_e; \quad E_e = \frac{(n - 1)^2}{2n} \cdot m_e,$$

где  $n = m_s/m_e$  — отношение массы  $S$ -частицы к массе электрона. Если подставить значение  $n = 3$  из работы<sup>/2/</sup>, то получим  $\epsilon_\gamma = 681$  кэВ,  $E_e = 340$  кэВ. Как видно, энергии  $\gamma$ -кванта и электрона не зависят от характеристик ядра, их испустившего. Следовательно, для всех ядер, при  $\beta$ -распаде которых испускается  $S$ -частица, должен наблюдаться  $\gamma$ -квант одной и той же энергии.

Распад  $S^\pm$ -частицы на электрон (позитрон) и два  $\gamma$ -кванта



тоже возможен, но в 137 раз менее вероятен, чем первый способ распада.  $S^+$ -частица может, в дополнение к указанным двум способам, проаннигилировать с электроном среды



Как обычно, процесс аннигиляции происходит после остановки  $S^+$ -частицы, и в результате данной реакции образуются два  $\gamma$ -кванта с энергиами  $\epsilon_\gamma = 1022$  кэВ.

Настоящая работа посвящена одной из возможностей экспериментальной проверки этих предположений. Как известно, электроны с энергией 1—2 МэВ останавливаются в среде за время меньшее, чем  $10^{-11}$  с. Примерно такое же время потребуется и для остановки  $S^{\mp}$ -частицы с той же энергией. Это значит, что могут быть созданы такие условия эксперимента, когда большая часть  $S^{\mp}$ -частиц (период их полураспада  $\approx 10^{-10}$ ) распадается после остановки, испуская при этом монохроматический  $\gamma$ -квант.

Не обсуждая в деталях проблему постановки эксперимента по поиску монохроматических  $\gamma$ -лучей от распада остановившейся  $S^{\mp}$ -частицы и отсылая читателя, например, к обзору Ц.Вылова и др.<sup>/4/</sup>, сделаем утверждение, что при стандартной постановке эксперимента по изучению  $\gamma$ -спектров при  $\beta$ -распаде с помощью Ge(Li)- $\gamma$ -спектрометров в большинстве случаев обеспечиваются условия для регистрации  $\gamma$ -квантов при распаде остановившейся  $S^{\mp}$ -частицы с эффективностью, не более чем в два раза отличающейся от эффективности регистрации  $\gamma$ -лучей, возникающих при разрядке уровней, заселяемых при  $\beta$ -распаде. Таким образом, спектры  $\gamma$ -лучей, регистрируемых при  $\beta$ -распаде ядер, могут содержать и  $\gamma$ -лучи, испускаемые при распаде  $S^{\mp}$ -частицы. Это открывает возможность поиска  $S^{\mp}$ -частицы путем анализа результатов исследований спектров  $\gamma$ -лучей, испускаемых при  $\beta$ -распаде.

Для такого анализа по таблицам<sup>/5/</sup> отбирались ядра, испытывающие электронный (позитронный) распад и удовлетворяющие следующим условиям:

- 1) граничная энергия  $\beta$ -спектров должна быть существенно больше 1 МэВ (иначе образование  $S^{\mp}$ -частицы запрещено законом сохранения энергии);
- 2)  $\beta^-$ ( $\beta^+$ )-распад преимущественно идет на основное состояние дочернего ядра. В этих случаях интенсивность спектра  $\gamma$ -лучей, возникающих при переходах между уровнями дочернего ядра, меньше, и  $\gamma$ -лучи, возникшие при распаде  $S^{\mp}$ -частицы, легче обнаружить;
- 3) отбирались преимущественно ядра,  $\gamma$ -спектры которых хорошо изучены.

Было отобрано 57 ядер, испытывающих  $\beta^-$ -распад,  $^{214}\text{Bi}$  среди них. Для поиска энергии  $\gamma$ -кванта, испускаемого при распаде  $S^-$ -частицы, использовалась таблица<sup>/6/</sup>. В ней собраны энергии  $\gamma$ -переходов всех изученных ядер, доли которых на распад больше 0,5%. Переходы, относящиеся к ядрам из нашего списка, были записаны в отдельный файл, всего их насчитывается 431. В интересующей нас области от 350 до 1225 кэВ содержится 216 переходов. Наша задача

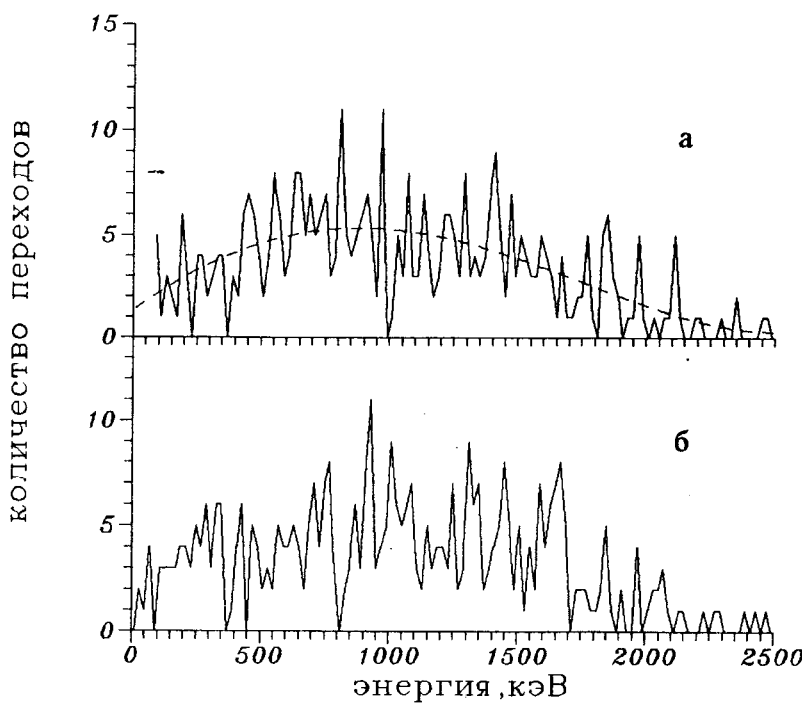


Рис.1. Количество переходов в интервале 20 кэВ, пунктиром обозначен график функции  $\rho(E_\gamma) = 1,29 + 9,2 \cdot E - 4,9 \cdot E^2 - 0,9 \cdot E^3 + 0,5 \cdot E^4$ , где  $E$  — энергия  $\gamma$ -кванта в МэВ (а). Распределение, смоделированное с использованием функции  $\rho(E_\gamma)$  (б)

состояла в том, чтобы определить, нет ли в этом списке переходов выделенной энергии, при которой энергии  $\gamma$ -квантов, относящихся к разным ядрам, приблизительно совпадают (в пределах погрешности эксперимента).

На рис. 1,а представлен график зависимости числа переходов в определенном интервале энергий от энергии перехода  $E_\gamma$ . На этом графике имеются максимумы, но, как будет показано далее, они имеют чисто статистическую природу. Пунктиром показана средняя плотность переходов  $\rho(E_\gamma)$ , полученная аппроксимацией табличных данных функцией четвертого порядка методом наименьших квадратов. На рис. 1,б показано распределение переходов, смоделированное с использованием функции  $\rho$  и статистики Пуассона.

Ось  $E_\gamma$  была разбита на интервалы, длина которых обратно пропорциональна  $\rho(E_\gamma)$ , а величина интервала в интересующей нас области 700 кэВ равнялась  $\approx 1$  кэВ. В 20 случаях в один интервал попали энергии переходов двух различных ядер, в четырех случаях — трех. Если в нашем списке нет энергий  $\gamma$ -переходов, связанных с распадом  $S^-$ -частицы, то при таком разбиении оси  $E_\gamma$  вероятность того, что количество переходов в данном интервале (обозначим его  $x$ ) окажется равно величине  $i$ , определяется распределением Пуассона<sup>/7/</sup>:

$$P(x = i) = \frac{\mu^i \cdot \exp(-\mu)}{i!},$$

где  $\mu$  — среднее количество переходов на интервал.

Одной из характерных особенностей этого распределения является то, что дисперсия (disp) равняется среднему. В нашем случае  $\mu = 0,264$ ,  $\text{disp} = 0,274$ .

Для того чтобы проверить, действительно ли распределение энергии переходов является пуассоновским, использовался критерий  $\chi^2$ . Получено значение  $\chi_1^2 = 0,05$ , что согласуется с гипотезой. Но тогда в 23,5 случаях в один интервал должно попадать два или больше  $\gamma$ -переходов, что точно согласуется с полученным по таблицам значением — 24 интервала. К тому же распределение переходов, показанное на рис. 1,б, дает функцию со столь же ярко выраженными максимумами, что и функция, показанная на рис. 1,а. Таким образом, нет оснований утверждать, что среди  $\gamma$ -переходов отобранных нами ядер есть переходы, относящиеся к распаду  $S^-$ -частицы.

Подобное исследование было проведено и для возможного распада  $S^+$ -частицы. Для 42 ядер известно 220 переходов в интервале 350÷1200 кэВ. Найдена своя функция  $\rho(E_\gamma)$  и получены следующие результаты:  $\mu = 0,275$ ,  $\text{disp} = 0,283$ ,  $\chi_1^2 = 0,06$ .

Вычисления дают, что в 25 интервалов должны попасть две и больше энергии переходов. В таблице же имеется всего 24 таких интервала. Тем самым показано, что в пределах той точности, которую нам дает пользование таблицами<sup>/6/</sup>, среди известных  $\gamma$ -переходов различных ядер нет выделенной энергии, которую можно было бы приписать распаду  $S^\pm$ -частицы, а значит, доля  $S^\pm$ -частиц, испускаемых при  $\beta$ -распаде ядер, не может превышать 0,5%, в отличие от 10%, даваемых Д.В.Скобельцыным для  $^{214}\text{Bi}$ .

Среди ядер, для которых испускание  $S^\mp$ -частицы не запрещено из энергетических соображений, исключительно удобный случай для анализа дает  $\beta^-$ -распад ядра  $^{90}\text{Y}$  ( $T_{1/2} = 64,1$  ч,  $E_{\beta^-} = 2,29$  МэВ). Пользуясь данными, представленными в работе<sup>15/</sup>, можно убедиться, что при распаде этого ядра возбуждаются только два уровня дочернего ядра  $^{90}\text{Zr}$ :  $0^+ - 1,761$  МэВ и  $2^+ - 2,186$  МэВ, с интенсивностью 0,011% и  $1,4 \cdot 10^{-6}\%$  на распад соответственно. При разрядке этих уровней возникают  $\gamma$ -лучи 2,186 (100%) и 0,425 (0,03%) МэВ; разрядка уровня  $0^+ - 1,761$  МэВ идет только через внутреннюю конверсию. Таким образом, интенсивность  $\gamma$ -лучей в выбранном выше интервале — не более чем  $0,5 \cdot 10^{-9}\%$ . Однако в работах, цитированных там же, мы не нашли экспериментального спектра в интересующей нас области. Поэтому мы провели специальные измерения  $\gamma$ -спектра  $^{90}\text{Y}$  с целью прямого получения этой оценки.

Для получения источника  $^{90}\text{Y}$  использован генератор, представляющий собой катионаобменную колонку, заполненную смолой Aminex 5A в  $\text{NH}_4^+$ -форме. После нанесения материнского нуклида  $^{90}\text{Sr}$  из слабокислого раствора на колонку она промывалась водой, затем двумя-тремя свободными объемами 0,5 моль раствора  $\alpha$ -оксиизобутират аммония и вновь водой. Через неделю накопившийся

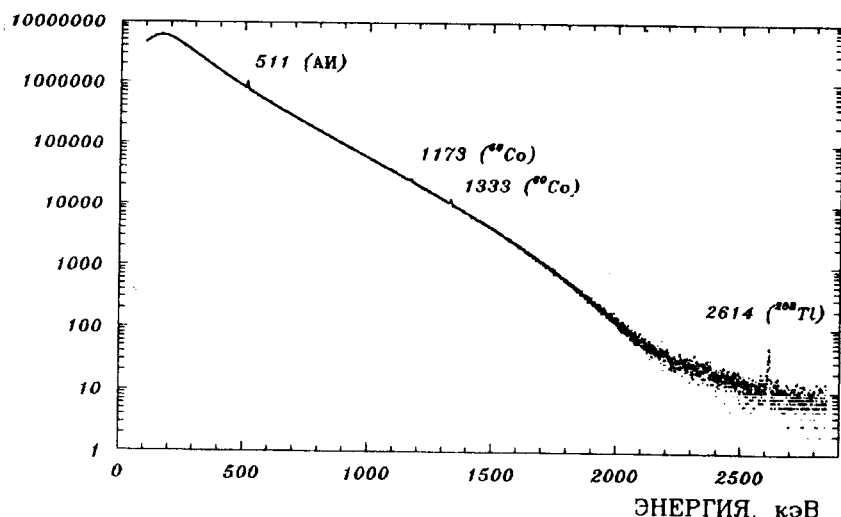


Рис.2. Спектр тормозного излучения от источника  $^{90}\text{Y}$ . Условия эксперимента описаны в тексте. Пики  $^{60}\text{Co}$  — от источника, использованного для подсветки (сила 165 к). Пик 2614 кэВ (в конце спектра) связан с естественным радиоактивным фоном. Время измерения спектра — 95 часов

$^{90}\text{Y}$  вымывался 0,5 моль раствором  $\alpha$ -оксиизобутират аммония (0,5 мл) в стеклянную пробирку диаметром 8 мм, которая тщательно закрывалась и помещалась в цилиндрический фильтр из Pb, Cd и Си толщиной 1,0; 0,5 и 0,5 мм соответственно. Измерения  $\gamma$ -спектра от приготовленного таким образом источника выполнены на низкофоновом  $\gamma$ -спектрометре с Ge(Li)-детектором в течение 95 часов. Чувствительный объем детектора — 40 см<sup>3</sup>, разрешающая способность спектрометра при кратковременных (1 час) измерениях — 3,1 кэВ на линии 1332 кэВ. Источник находился на расстоянии  $\approx$  7 см от детектора. Начальная активность  $^{90}\text{Y}$  в источнике была около 120 МБк. Для целей контроля за калибровкой и стабильностью спектрометра детектор подсвечивался слабым источником  $^{60}\text{Co}$ .

Полученный спектр представлен на рис. 2. Основной вклад вносит внутреннее тормозное излучение. Пик аннигиляционного излучения (511 АИ) и пики  $^{60}\text{Co}$  были заметно уширенены, вероятно, за счет температурной нестабильности: полуширины линий 511 и 1173 кэВ составили, соответственно, 4,7 и 9,2 кэВ. Это, естественно, в несколько раз повышает экспериментальный предел на оценку интенсивности возможных  $\gamma$ -лучей при распаде остановившейся  $S^-$ -частицы. Анализ части спектра, соответствующей диапазону энергий  $\gamma$ -квантов от 520 до 1150 кэВ, показал, что уверенно можно было бы определить пики  $\gamma$ -квантов с интенсивностью  $\sim$  0,3 от линии 1173 кэВ. Так как средняя активность препарата  $^{90}\text{Y}$  составляла около  $5,9 \cdot 10^7$  Бк, а активность  $^{60}\text{Co}$  равнялась 165 Бк, то вероятность образования  $S^-$ -частиц с последующим высвечиванием  $\gamma$ -квантов для области энергий от 520 до 1150 кэВ составляет  $10^{-5}$ . Таким образом, проведенный эксперимент позволяет утверждать, что вероятность образования  $S^-$ -частицы при распаде  $^{90}\text{Y}$  не более  $10^{-5}$  на один распад этого ядра.

Авторы выражают глубокую благодарность А.М.Балдину за внимание к работе и полезные обсуждения.

## Литература

1. Baldin A.M. — JINR Rapid Communications No.3[42]-90, Dubna, 1990, p.4.
2. Скобельцын Д.В. — Распад неустойчивых частиц на лету и аномальное рассеяние  $\beta$ -лучей. В кн.: Памяти С.И.Вавилова, М.: изд-во АН СССР, 1952, с.292.
3. Скобельцын Д.В. — Изв. АН СССР, сер. физ., 1938, 1—2, с.75.

4. Вылов Ц. и др. — Спектры излучений радиоактивных нуклидов. Ташкент: ФАН, 1980.
5. Table of Isotopes. Ed. by C.M.Lederer, New-York, 1978.
6. Gamma-Ray Catalog. Ed. by U.Reus and W.Westmeier, Lahnberge, 1978.
7. Худсон Д. — Статистика для физиков. М.: Мир, 1970.

Рукопись поступила 30 января 1992 года.